

# 界磁制御에 의한 同期전동기의 亂調防止

Hunting Protection of Synchronous Motor by Field Control

논 문

20~2~3

한 송엽  
(Song Yop Hahn)

## [ABSTRACT]

To proteting hunting of synchronous motor a new one which has two field windings is designed. One is main field winding excited constantly and the other is control field winding excited only during the load of motor changes. The oscillation of the motor is controlled by increasing or decreasing the control field excitation.

To determine the optimal field excitation the Pontryagin's minimum principle is applied. Also this paper gives the optimal trajectories of the motor and it's transition time.

This motor has some of better properties than the old motor with damper winding. Those phroperties are: (1) there is no hunting (2) the transient stability is improved (3) transition time is very short.

## 1. 서 론

同期電動機는 負荷의 回轉力이 변화하면 端子電壓과 逆起電力사이의 角 즉 負荷角이 변화한다. 이때 回轉子는 새로운 負荷角을 중심으로 몇 회의 진동을 거쳐서 새로운 負荷角에 머무르게 되는데 이 진동의 감쇠를 빠르게 하기 위하여 回轉子의 표면에 制動卷線을 설치하였다. 이렇게 하여도 회전자의 진동시간은 비교적 길고 負荷가 급변하는 경우는 回轉子의 진동범위가 커서 負荷角이 커지고 이것이 심하면 同期脫調의 경우까지 이르게 된다.

본 연구에서는 同期電動機의 回轉子에 制動卷線대신 새로운 制御用 界磁卷線을 설치하고 負荷가 변화하여 회전자가 진동하는 경우 이 권선의 여자를 제어하여 과도시간을 단축하고 진동범위를 적게 하여 同期電動機의 過渡安定度를 높이는 것에 대하여 취급하였다.

## 2. 同期電動機의 運動方程式

그림 1은 三相 同期電動機의 구조이다. 이 電動機의 회전자에는 制動卷線이 없고 그 대신 새로운 制御用 界磁卷線을 설치한 것이 종전의 동기전동기와 구조상 다른 점이다. 이 제어용 界磁卷線은 부하가 변화할 때만 사용하므로 이 회로의 電氣的 時定數를 적게 하기 위하-

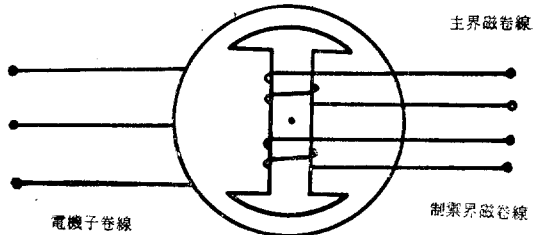


그림 1. 三相同期電動機의 구조

Fig. 1. Three phase synchronous motor

여 短은 권선을 사용하고 감는 回數도 적게 하며 필요한 起磁力を 얻기 위하여는 많은 전류가 흐를 수 있게 설계 한다.

回轉子의 運動方程式을 기술하기 전에 아래의 몇 가지 점들을 가정한다.

- (ㄱ) 回轉子에 작용하는 回轉力은 主界磁卷線과 電機子卷線 사이의 電磁回轉力(Electro magnetic torque)과 制御界磁卷線과 電機子卷線 사이의 電磁回轉力과 負荷에 의한 機械的 回轉力 만을 고려한다.
- (ㄴ) 同期임피던스 중 抵抗은 무시하고 直軸 同期리 악탄스와 橫軸 同期리 악탄스는 같다고 한다.
- (ㄷ) 制御界磁卷線에 의한 電磁回轉力의 電氣的 時定

\* 정회원 : 서울공대 공업교육학과 전임강사



이다. 여기서  $u' = c + u > 0$  이고  $u'$ 는 일정시간동안 상수 이므로

$$\left. \begin{aligned} P_1(t) &= -A\omega \cos(\omega t + \varphi) \\ P_2(t) &= A \sin(\omega t + \varphi) \end{aligned} \right\} \dots\dots\dots(17)$$

이다. 여기서  $\omega = \sqrt{u'}$ 이고  $P_1(t)$  및  $P_2(t)$ 의 초기조건을 각각  $k_1, k_2$ 라고 하면 식(17)에서

$$\left. \begin{aligned} A &= \sqrt{\frac{k_1^2}{u'} + k_2^2} \\ \varphi &= \tan^{-1} \frac{k_2}{-k_1/\sqrt{u'}} \end{aligned} \right\} \dots\dots\dots(18)$$

이다.

식(14)에서  $u(t)$ 의 값은  $\text{sgn}\{x_1(t)P_2(t)\}$ 에 따라  $M$  또는  $m$ 을 취하게 되는데  $x_1(t)$ 는 同期電動機의 정상

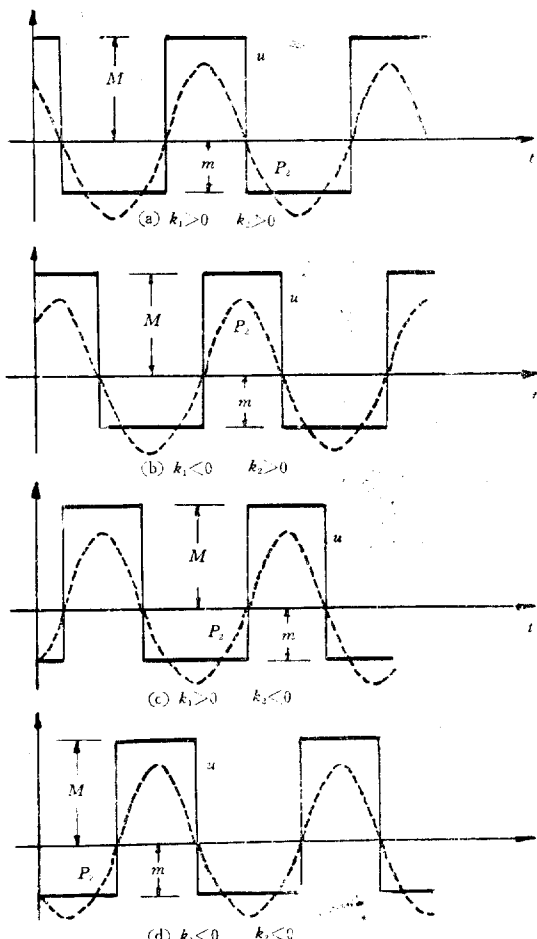


그림 2. 보조변수  $P_2(t)$ 와 제어변수  $u(t) = \text{sgn}\{P_2(t)\}$

Fig. 2. The four possible shapes of  $P_2(t)$  and corresponding control  $u(t) = \text{sgn}\{P_2(t)\}$

적인 운전범위 내에서 난조현상은 없으면  $x_1(t) > 0$  이므로  $u(t)$ 의 값은  $\text{sgn}\{P_2(t)\}$ 에 따라  $M$  또는  $m$ 을 취하게 된다.

그림 2는  $k_1, k_2$ 의 여러가지 값에 대한  $u(t)$ 의 변화를 나타낸 그림이다. 즉 그림 2-(a)는  $k_1 > 0, k_2 > 0$ 인 경우인데  $P_2(t)$ 의 부호가 처음에 +이므로 제어변수  $u(t)$ 는 먼저  $M$ 의 값을 취하고  $P_2(t)$ 가 차차 변화하여  $\text{sgn}\{P_2(t)\}$ 가 -가 되면  $u(t)$ 는  $m$ 의 값을 취하게 된다.

그림 2-(b)는  $k_1 < 0, k_2 > 0$ 인 경우이고 그림 2-(c)는  $k_1 > 0, k_2 < 0$ 인 경우이고 그림 2-(d)는  $k_1 < 0, k_2 < 0$ 인 경우이다. 이 경우도 마찬가지로  $\text{sgn}\{P_2(t)\}$ 가 +이면  $u(t) = M$ 이 되고 -이면  $u(t) = m$ 이 된다.

## (2) 回轉子의 궤도

식(11)을 정리하면

$$\left. \begin{aligned} \frac{d^2x_1(t)}{dt^2} + u'x_1(t) &= d \\ \frac{d^2x_2(t)}{dt^2} + u'x_2(t) &= 0 \end{aligned} \right\} \dots\dots\dots(19)$$

이고 이것을 풀면

$$\left. \begin{aligned} x_1(t) &= \frac{d}{u'} + B \sin(rt + \phi) \\ x_2(t) &= Br \cos(rt + \phi) \end{aligned} \right\} \dots\dots\dots(20)$$

이다  $x_1(t)$  및  $x_2(t)$ 의 초기조건을 각각  $\epsilon_1, 0$ 라고 하면

$$B = \epsilon_1 - \frac{d}{u'}$$

$$\phi = \frac{\pi}{2}$$

$$r = \sqrt{u'}$$

이다. 또 식(20)을 변형하면

$$\frac{(x_1 - \frac{d}{u'})^2}{B^2} + \frac{x_2^2}{B^2 r^2} = 1 \dots\dots\dots(21)$$

이 되고 이것은  $(\frac{d}{u'}, 0)$ 를 중심으로 하고 단축 및 장축을 각각  $B$  및  $Br$ 로 하는 타원의 방정식이다.

그림 3에서 實線으로 그려진 타원들은 제어량  $u = m$  즉  $u' = c + m$ 로 하였을 때 회전자의 운동궤적이고 초기조건을 여러가지로 바꾸어 그린 것이다.

또한 實線으로 그려진 타원들은  $u = M$  즉  $u' = c + M$ 로 하였을 때 회전자의 운동궤적이고 초기조건을 여러가지로 바꾸어 그린 것이다.

그림 4는 몇 개의 초기상태와 최종상태가 주어졌을 때 回轉子를 初期상태에서 最終상태까지 最小時間으로 이동시킬 수 있는 최적궤도에 대한 예이다. 즉 궤도  $N$ 는 상태 4에서 상태 5로 가는 궤도인데 먼저  $u = m$ 으로 하여 상태 4에서 상태  $q$ 까지 가고 여기서  $u = M$ 으로 바꾸어 상태  $q$ 에서 상태 5까지 회전자가 이동하게 된다.

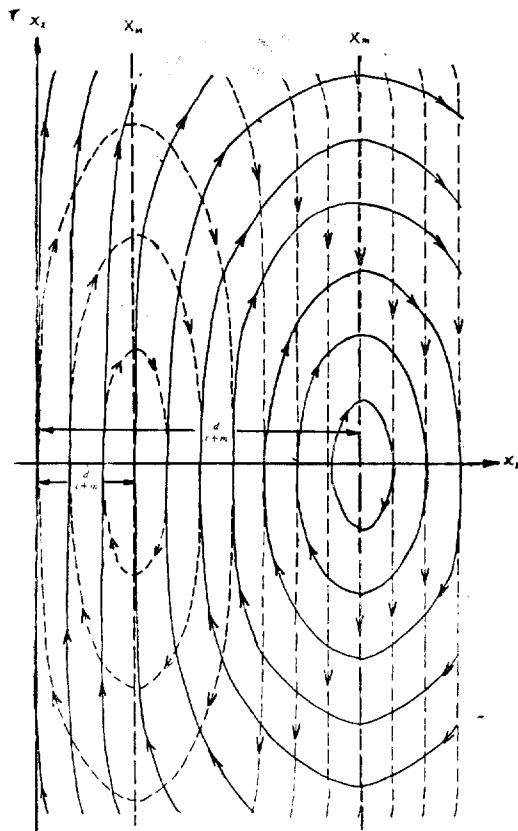


그림 3. 狀態平面上의 케도군

Fig. 3. The forced trajectories in the state plane

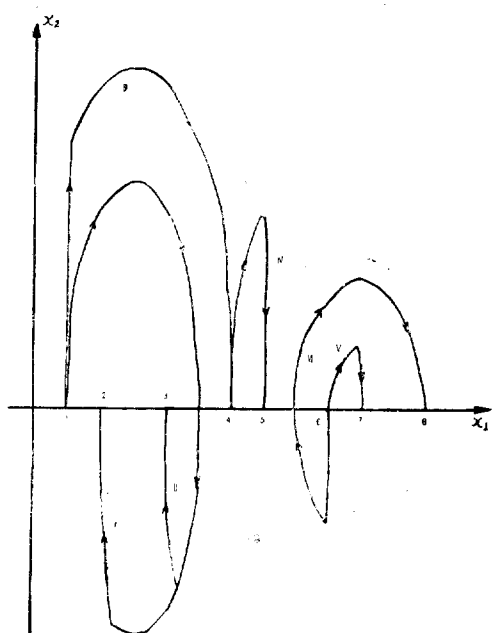


그림 4. 각종 케도의 예

Fig. 4. The example of various trajectories

궤도 I 궤도 II 궤도 III 궤도 IV 궤도 V에 비하여 그 궤도의 성질이 매우 다르다. 그 궤도의 길이가 길어 회전자가 초기상태에서 최종상태까지 이동하는 시간도 길어질 뿐만 아니라 부하각의 변화범위가 크므로 궤도 III 궤도 IV 궤도 V와 같은 회전자의 이동 궤도가 좋다. 그러므로  $M$ 은 가능한 한 크게  $m$ 은 가능한 한 적게 하여 제어하려고 하는 상태가 그림 4에서 축  $X_M$ 과 축  $X_m$ 의 사이에 있게 하는 것이 좋다.

### (3) 스위치 곡선

그림 5는 제어하려고 하는 상태가 전부 축  $X_M$ 과 축  $X_m$  사이에 있을 때의 스위치 곡선이다. 여기서 점선  $S_M$ 은 회전자를 제어하는 제어변수  $u=M$ 로 하여 최종상태  $(\varepsilon_2, 0)$ 까지 이동시킬 수 있는 점들의 궤적이고

$$S_M = \left\{ (x_1, x_2) : \frac{\left(x_1 - \frac{d}{c+M}\right)^2}{\left(\varepsilon_2 - \frac{d}{c+M}\right)^2} + \frac{x_2^2}{\left(\varepsilon_2 - \frac{d}{c+M}\right)^2(c+M)} = 1; x_2 \geq 0 \right\} \dots (22)$$

이다. 또 실선  $S_m$ 은 제어변수  $u=m$ 로 하여 최종상태  $(\varepsilon_2, 0)$ 까지 이동시킬 수 있는 점들의 궤적이고

$$S_m = \left\{ (x_1, x_2) : \frac{\left(x_1 - \frac{d}{c+m}\right)^2}{\left(\varepsilon_2 - \frac{d}{c+m}\right)^2} + \frac{x_2^2}{\left(\varepsilon_2 - \frac{d}{c+m}\right)^2(c+m)} = 1; x_2 \leq 0 \right\} \dots (23)$$

까지 最適궤도를 따라 이동한 경우 그 경과한 시간이 여기서 구하려고 하는 變位時間이다.

그림 6에서 타원 I 및 타원 II는 각각 초기조건( $\varepsilon_1, 0$ )과 최종조건( $\varepsilon_2, 0$ )을 지나는 타원인데 그 방정식은 각각

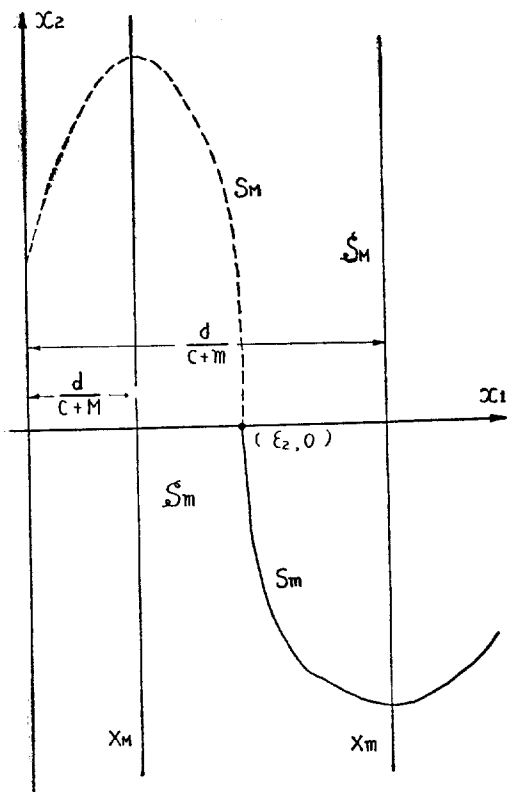


그림 5. 스위치 곡선

Fig. 5. The switch curve

이다. 구역  $S_M$ 은 곡선  $s_M$ 과 곡선  $s_m$ 의 윗 부분인데 회전자를 最終狀態( $\varepsilon_2, 0$ )까지 이동시키기 위하여 먼저 제어변수  $u=M$ 로 하여 회전자를 이동시켜 그 상태가 線  $s_m$ 상에 왔을 때 제어변수  $u=m$ 로 하여 회전자를 最終狀態까지 이동시킬 수 있는 初期狀態들의 集合이다. 또한 구역  $S_m$ 은 구역  $S_M$ 과 반대로 제어변수  $u=m$ 로 하고 그 상태가 線  $s_M$ 상에 왔을 때 제어변수  $u=M$ 로 하여 회전자를 최종상태까지 이동시킬 수 있는 초기상태들의 집합이다.

그러므로 電動機의 回轉子를 어떤 初期狀態에서 最終狀態까지 最小時間으로 이동시킬 수 있는 제어변수  $\bar{u}$ 는  $(x_1, x_2)$ 의 함수인데

$$\begin{cases} (x_1, x_2) \in S_M \cup s_M \text{ 일 때 } \bar{u}(x_1, x_2) = M \\ (x_1, x_2) \in S_m \cup s_m \text{ 일 때 } \bar{u}(x_1, x_2) = m \end{cases} \quad \dots(24)$$

이다.

#### (4) 變位時間

電動機가 初期의 平形상태( $\varepsilon_1, 0$ )에서 最終상태( $\varepsilon_2, 0$ )

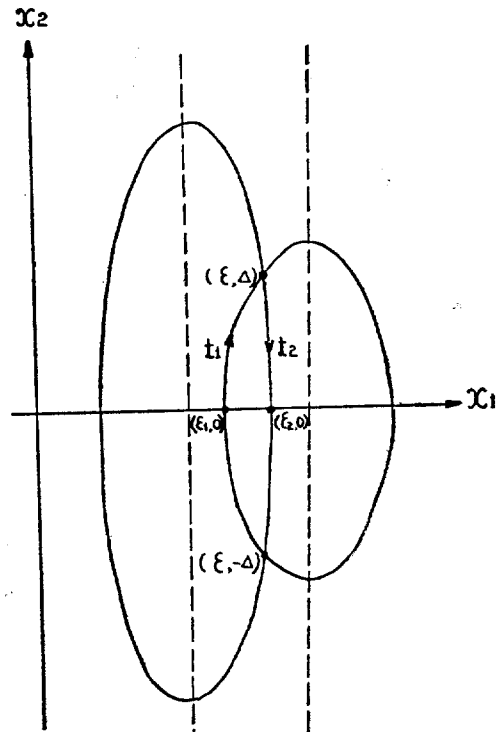


그림 6. 최적궤도의 보기

Fig. 6. One of the time optimal trajectories.

$$\left. \begin{aligned} & \frac{(x_1 - \frac{d}{c+m})^2}{(\varepsilon_1 - \frac{d}{c+m})^2} + \frac{x_2^2}{(\varepsilon_1 - \frac{d}{c+m})^2(c+m)} = 1 \\ & \frac{(x_1 - \frac{d}{c+M})^2}{(\varepsilon_2 - \frac{d}{c+M})^2} + \frac{x_2^2}{(\varepsilon_2 - \frac{d}{c+M})^2(c+M)} = 1 \end{aligned} \right\} \dots(25)$$

$$\begin{aligned} \bar{u} = & \sqrt{\frac{(\varepsilon_2 - \frac{d}{c+M})^2(c+M) - (\varepsilon_1 - \frac{d}{c+m})^2(c+m)}{M-m}} \\ & - \frac{d^2}{c+M} + \frac{d^2}{c+m} \end{aligned} \quad \dots(26)$$

이다. 상태  $(\varepsilon_1, 0)$ 에서 상태  $(\varepsilon, \Delta)$ 까지 회전자가 이동하는 시간을  $t_1$ 이라고 하면 식(20)에서

$$t_1 = \left\{ \sin^{-1} \left( \frac{\varepsilon - \frac{d}{c+m}}{\varepsilon_1 - \frac{d}{c+m}} \right) - \frac{\pi}{2} \right\} / \sqrt{c+m} \dots (27)$$

이고 상태  $(\epsilon, \Delta)$ 에서 상태  $(\epsilon_2, 0)$ 까지 회전자가 이동하는 시간을  $t_2$ 라고 하면 이것은 회전자가 상태  $(\epsilon_2, 0)$ 에서 상태  $(\epsilon, -\Delta)$ 까지 이동한 시간과 같으니까 식(20)에서

$$t_2 = \left\{ \sin^{-1} \left( \frac{\varepsilon - \frac{d}{c+M}}{\varepsilon_2 - \frac{d}{c+M}} \right) - \frac{\pi}{2} \right\} / \sqrt{c+M} \dots (28)$$

이다. 그러므로 회전자가 初期狀態  $(\varepsilon_1, 0)$ 에서 最終狀態  $(\varepsilon_2, 0)$ 까지 이동하는데 소요된 시간  $T$ 는

이여 또한 이것은 회전자를  $(\varepsilon_1, 0)$ 에서  $(\varepsilon_2, 0)$ 까지 이동하는데 소요되는 시간 중 가장 짧은 시간이다.

#### 4. 最適制御回路

앞에서 논술한同期電動機 계통의 最適制御回路를 구성하는데는 첫째 系統의 出力에서 상태변수  $x_1(t)$ 를 测定하고 辅助方程式 식(15)를 풀어서  $P_2(t)$ 를 구하여  $sgn\{x_1(t)P_2(t)\}$ 를 구하고 이 부호에 따라 制御變數  $u(t)$ 를  $M$  또는  $m$ 로 하여 系統을 制御하는 방법과 둘째로 系統의 出力에서 상태변수  $x_1(t)$   $x_2(t)$   $\dot{x}_2(t)$ 를 测定하여 負荷를 想定한 후 그림 5와 같은 스위치 쪽선을 구하고 이것과 현재 이 계통의 상태를 비교하여 制御變數  $u(t)$ 를  $M$  또는  $m$ 로 하여 계통을 제어하는 방법이 있다.

前者的 방법을 이용할 때는 보조방정식 식(15)의 解  
식(17)에서 적분상수  $A$  및  $\phi$ 를 결정하여야 하는데 이  
것을 計算하기 위하여는  $P_1(t)$  및  $P_2(t)$ 의 초기조건  
 $k_1$ ,  $k_2$ 를 알아야 한다. 負荷가 정하여 지고 초기조건  
이 정하여 지면  $k_1$ ,  $k_2$ 의 값은 시행교정법을 사용하여  
구할 수 있는데 매우 복잡하다. 더욱이 부하가 일의로

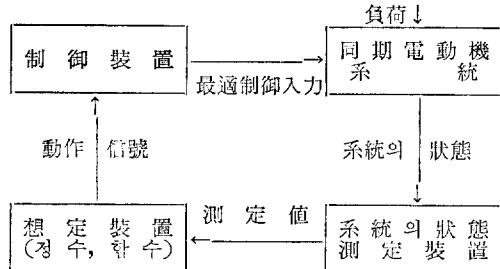


그림 7. 最適制御回路 系統圖

**Fig 7.** The block diagram of the time optimal controller.

변화하는 것에 대하여는  $k_1$   $k_2$ 의 값을 구하기는 더욱 복잡하므로 여기서는 둘째 방법을 택하기로 한다.

그림 7은 이 제어회로의 계통도이다. 여기서 부하는 입의로 변화하므로 이 계통은 자기최적제어 형식으로 구성되어 있다.

그림 8은 자기 최적제어회로의 한 예이다. 同期電動機의 축으로부터  $x_1(t)$ ,  $\dot{x}_1(t)$ 를 측정하고 제어기  $R$

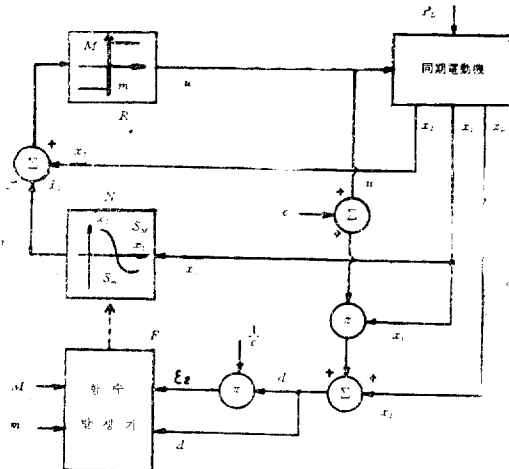


그림 8. 최적제어 회로의 상세도

**Fig 8.** An engineering realization of the time-optimal controller

로 부터 제어량  $u(t)$ 를 얻어 계통방정식식(11)을 이용하여  $d$ 를 계산하고 여기에  $\frac{1}{c}$ 을 곱하여 현재의 부하  $P_L$ 에서의最終상태  $(\varepsilon_2, 0)$ 를 얻는다.  $s_2 d M m$ 의 값을 이용하여 함수발생기  $F$ 로부터 스위치곡선  $N$ (그림5와 동일함)을 발생시킨다. 이 스위치곡선  $N$ 에  $x_1(t)$ 를 넣으면 출력으로  $\dot{x}_2$ 이 나오는데 이것과 전동기의 상태변수  $x_2(t)$ 와를 비교한다. 여기서  $\dot{x}_2 = \dot{x}_2[x_1(t)]$ 이다. 만일

$$x_2(t) - \hat{x}_2 < 0 \quad \dots \dots \dots \quad (30)$$

이면  $(x_1, x_2)$ 는 구역  $S_m$ 에 있다는 것을 나타내므로  $n(t)=m$ 이 되도록 제어기  $R$ 에 1信号를 보내주고 만일

이면  $(x_1, x_2)$ 는 구역  $S_M$ 에 있다는 것을 나타내므로  $u(t) = M$ 이 되도록 제어기  $R$ 에 十信號를 보내게 하였다. 마일  $(x_1, x_2)$ 가 곧  $S_M$  상에 들어서

가 되면  $u(t)=0$  이 되리라고 생각되나  $u(t)=0$  이면 전동기는 현재 평형상태에 있지 아니하므로 주체자 원선의 어자에 의하여 그 상태가  $S_M$  곡선상에서  $S_M$  지역으로 이동하게 되어  $x_2(t)-\hat{x}_2 > 0$  가 되어  $u(t)=M^*$



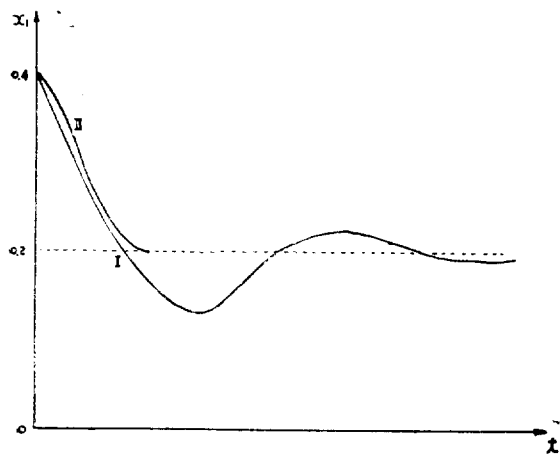


그림 10. 계자제어 동기전동기와 제동권선 동기전동기의 부하각 변화비교

Fig. 10. The load angles of two synchronous motors with damping windings, control filed winding.

## 6. 結 論

본 연구에서는同期電動機의回轉子에制御用界磁卷線을설치하여電動機의負荷가변화하는경우이권선의여자를제어함으로서회전자가새로운평형부

하각으로 이동하는 과정에서 진동하지 않게 하는 방법에 대하여 논하였다. 종래의 제동권선이 있는 동기전동기와 비교검토하여 개선된 점을 들어 보면

(ㄱ) 전동기의 부하가 변화하는 경우 회전자가 새로운 부하각으로 이동하는 시간을 훨씬 단축 할 수 있다.

(ㄴ) 전동기의 회전자는 진동하지 않고 새로운 부하각으로 이동한다. 즉 난조현상이 없다.

(ㄷ) 난조현상이 없어 전동기의 과도 안정도가 매우 향상된다.

(ㄹ) 난조현상이 없어 전동기에서 최대출력에 대한 정격출력의 비율을 높일 수 있다.

끝으로 본 연구결과는 제어용 제자권선을 갖이는 동기전동기의 설계에 있어서 도움이 되리라고 생각되고 그동안 적극적으로 협조하여 주신 황희웅교수에게 감사를 드린다.

## 참 고 문 헌

李承院 同期機

Michael Athans  
Peter L. Falb } Optimal Control 1966

Rufus Oldenburger Optimal Control 1966

Andrew P. Sage Optimum Control System 1968

V.J. Darcy  
R.A. Hanner } An Application of an Analog Computer to solve the two-point Boundary Value Problem. IEEE Trans. Automatic Control. Feb. 1967